

ВОСПЛАМЕНЕНИЕ ОБЛАКА МЕТАЛЛИЧЕСКИХ ЧАСТИЦ

В КОНТИНУАЛЬНОМ РЕЖИМЕ.

I. АДИАБАТИЧЕСКОЕ ТЕЧЕНИЕ

Ю. А. Гостеев, А. В. Федоров

Институт теоретической и прикладной механики СО РАН, 630090 Новосибирск

Предложена математическая модель для описания движения смеси газа и реагирующих металлических частиц в двухскоростном двухтемпературном приближении механики гетерогенных сред. В качестве приложения данной модели развита теория волны воспламенения в смеси газа и частиц магния, обобщающая теорию теплового взрыва Н. Н. Семенова на случай движущегося облака частиц. Данна классификация типов течения смеси за фронтом ударной волны. Расчетный период индукции облака коррелирует с данными эксперимента. Продемонстрированы устойчивое распространение по смеси стационарной волны воспламенения и возможность ее инициирования.

1. ОСНОВНЫЕ УРАВНЕНИЯ

Рассмотрим единичный объем смеси, заполненный газом и твердыми частицами металла, покрытыми оксидной пленкой. Ограничимся плоским одномерным случаем, когда все параметры газовзвеси зависят от пространственной координаты и времени. Считаем, что в смеси присутствуют следующие компоненты: газовая фаза — окислитель (индекс 11), инертный газ (12) и газообразные продукты окисления металла (13); дисперсная фаза — металл (22), вступающий с окислителем в гетерогенную химическую реакцию, и конденсированный продукт этой реакции в виде оксидной пленки (23). Для средних параметров фаз запишем уравнения сохранения [1, 2]:

массы

$$\begin{aligned} \frac{\partial \rho_1}{\partial t} + \frac{\partial \rho_1 u_1}{\partial x} &= \bar{\nu}_2 J, \\ \frac{\partial \rho_2}{\partial t} + \frac{\partial \rho_2 u_2}{\partial x} &= -\nu_2 J, \end{aligned} \quad (1.1)$$

импульса

$$\begin{aligned} \frac{\partial \rho_1 u_1}{\partial t} + \frac{\partial(\rho_1 u_1^2 + m_1 p)}{\partial x} &= p \frac{\partial m_1}{\partial x} + \bar{\nu}_2 J u_2 + R_1, \\ \frac{\partial \rho_2 u_2}{\partial t} + \frac{\partial(\rho_2 u_2^2 + m_2 p)}{\partial x} &= p \frac{\partial m_2}{\partial x} - \nu_2 J u_2 + R_2, \end{aligned} \quad (1.2)$$

энергии

$$\begin{aligned} \frac{\partial \rho_1 E_1}{\partial t} + \frac{\partial(\rho_1 u_1 E_1 + m_1 u_1 p)}{\partial x} &= -p \frac{\partial m_1}{\partial t} + \\ &+ \bar{\nu}_2 J \left[-\chi_1 + h_1 + \frac{u_2^2}{2} \right] + Q_1 + R_1(\beta u_1 + \bar{\beta} u_2), \end{aligned}$$

$$\frac{\partial \rho_2 E_2}{\partial t} + \frac{\partial(\rho_2 u_2 E_2 + m_2 u_2 p)}{\partial x} = -p \frac{\partial m_2}{\partial t} + \quad (1.3)$$

$$+ \bar{\nu}_2 J \left[-\chi_2 - h_2 - \frac{u_2^2}{2} \right] + Q_2 + R_2(\beta u_1 + \bar{\beta} u_2).$$

Здесь ρ_i , u_i , E_i , h_i , m_i — средняя плотность, скорость, полная энергия, энтальпия и объемная концентрация i -й фазы; p — давление смеси; R_i , Q_i — члены, задающие силовое и тепловое взаимодействие фаз. Остальные обозначения пояснены ниже.

Уравнения кинетики для газовой фазы следующие:

$$\rho_1 \frac{d_1 \xi_{11}}{dt} = -(\nu_{11} + \bar{\nu}_2 \xi_{11}) J,$$

$$\frac{\nu_{11} + \bar{\nu}_2 \xi_{11}}{\nu_{11} + \bar{\nu}_2 \xi_{11,0}} = \frac{\xi_{12}}{\xi_{12,0}}, \quad \xi_{11} + \xi_{12} + \xi_{13} = 1,$$

где $\xi_{1j} = \rho_{1j}/\rho_1$ — массовая доля j -го компонента газовой фазы.

Уравнения кинетики для дисперсной фазы запишем в виде интегралов

$$\frac{\xi_{22}(\alpha_\nu - \xi_{22,0})}{\xi_{22,0}(\alpha_\nu - \xi_{22})} = \left(\frac{r}{r_0} \right)^3, \quad \xi_{22} + \xi_{23} = 1,$$

где $\xi_{2j} = \rho_{2j}/\rho_2$, $\alpha_\nu = \nu_{22}/\bar{\nu}_2$, $\bar{\nu}_2 = \nu_{22} - \nu_{23}$. Здесь ν_{ij} — стехиометрические коэффициенты реакции окисления, удовлетворяющие соотношению

$$\nu_{11} + \nu_{22} = \nu_{13} + \nu_{23};$$

r — радиус металлического ядра частицы, связанный с полным радиусом частицы $R = r + h$

(где h — толщина оксидной пленки) посредством интеграла

$$R^3 - R_0^3 = a(r^3 - r_0^3),$$

где $a = 1 - \nu_{23}\rho_{22}^0/\bar{\nu}_2\rho_{23}^0$. Для источникового члена J справедливо выражение

$$J = -\frac{3}{r} \frac{\rho_{22}}{\nu_{22}} \frac{d_2 r}{dt}.$$

В качестве замыкающих соотношений используем:

калорическое уравнение состояния в виде

$$p = \mathcal{R}T_1\rho_1^0,$$

где

$$\mathcal{R} = \mathcal{R}_\mu \sum_{i=1}^3 \frac{\xi_{1i}}{\mu_i} = \sum_{i=1}^3 \xi_{1i} \mathcal{R}_{1i},$$

\mathcal{R}_μ — универсальная газовая постоянная, $\rho_1^0 = \rho_1/m_1$, $m_1 + m_2 = 1$, $m_2 = 4/3\pi R^3 n$; термические уравнения состояния для внутренних энергий фаз

$$e_1 = \sum_{i=1}^3 \xi_{1i} e_{1i}, \quad e_{1i} = c_{v,1i}(T_1 - T_0) + e_{1i}^0,$$

$$e_2 = \sum_{j=2}^3 \xi_{2j} e_{2j}, \quad e_{2j} = c_{v,2j}(T_2 - T_0) + e_{2j}^0;$$

связи между энталпиями и внутренними энергиями в виде

$$h_{1i} = e_{1i} + \frac{p_{1i}}{\rho_{1i}} = c_{p,1i}(T_1 - T_0) + h_{1i}^0,$$

$$h_{1i}^0 = e_{1i}^0 + \mathcal{R}_{1i}T_0, \quad i = 1, 2, 3;$$

условие несжимаемости частиц

$$\rho_{2j}^0 = \text{const}, \quad j = 2, 3.$$

Здесь $c_{p,1i}$ — теплоемкость i -го компонента газовой фазы при постоянном давлении, $c_{v,1i}$ — при постоянном объеме; $c_{v,2j} = c_{p,2j}$ — теплоемкость j -го компонента дисперской фазы.

В уравнениях (1.2), (1.3) на функции R_i , Q_i налагаются условия $R_1 = -R_2$, $Q_1 = -Q_2$ (см. также ниже); для полной энергии фазы справедливо выражение $E_i = e_i + u_i^2/2$, где e_i — внутренняя энергия. Величина β задает долю тепла, выделяемого в дисперской фазе за счет работы силы трения, $\beta = 1 - \beta$ — аналогичная величина для газовой фазы. Параметры χ_1 , χ_2 являются аккомодационными коэффициентами и позволяют распределять тепло химической реакции между фазами. Значения χ_i находятся из условия сохранения полной энергии смеси:

$$\chi_1 + \chi_2 = h_1 - h_2.$$

Тепло химической реакции есть, по определению,

$$q_* = \nu_{11}h_{11} + \nu_{22}h_{22} - \nu_{13}h_{13} - \nu_{23}h_{23},$$

причем в газ идет $\alpha_q q_*$, в частицы $(1 - \alpha_q)q_*$, где α_q — доля тепла химической реакции, поступающего в газ. Тогда нетрудно получить следующие выражения:

$$\chi_1 = [-\alpha_q q_* + (\nu_{11} + \bar{\nu}_2\xi_{11})h_{11} + \bar{\nu}_2\xi_{12}h_{12} - (\nu_{13} - \bar{\nu}_2\xi_{13})h_{13}]/\bar{\nu}_2,$$

$$\chi_2 = h_1 - h_2 - \chi_1.$$

В отличие от [1] в данной математической модели проведено распределение тепла химической реакции между фазами в соответствии с величиной α_q . Кроме того, здесь не предполагается, что полный радиус частицы сохраняется постоянным, что важно при протекании в среде медленных процессов окисления.

В соответствие с [3] проведем термодинамический анализ предложенной математической модели. Для этой цели введем удельную энтропию смеси согласно соотношению

$$\rho S = \rho_1 S_1 + \rho_2 S_2,$$

где S_1 , S_2 — удельные энтропии фаз. Это позволяет найти субстанциональную производную от S , которая характеризует изменение энтропии в постоянном по массе объеме двухфазной среды:

$$\rho \frac{DS}{Dt} = \rho_1 \frac{d_1 S_1}{dt} + \rho_2 \frac{d_2 S_2}{dt} - \bar{\nu}_2 J(S_2 - S_1).$$

Здесь учтены уравнения сохранения масс (1.1) для каждой из фаз. Далее, в предположении локального термодинамического равновесия в пределах каждой фазы можно использовать соотношения Гиббса

$$\rho_i T_i \frac{d_i S_i}{dt} = \rho_i \frac{d_i e_i}{dt} - \frac{m_i p}{\rho_i^0} \frac{d_i \rho_i^0}{dt}, \quad i = 1, 2,$$

правые части которых могут быть определены с помощью уравнений притока тепла фаз:

$$\rho_1 \frac{d_1 e_1}{dt} - \frac{m_1 p}{\rho_1^0} \frac{d_1 \rho_1^0}{dt} = R_1 \beta (u_2 - u_1) +$$

$$+ \bar{\nu}_2 J \left[-\chi_1 + \frac{(u_2 - u_1)^2}{2} \right] + Q_1,$$

$$\rho_2 \frac{d_2 e_2}{dt} - \frac{m_2 p}{\rho_2^0} \frac{d_2 \rho_2^0}{dt} = R_1 \beta (u_2 - u_1) - \\ - \bar{\nu}_2 J \chi_2 + Q_1.$$

В итоге для изменения энтропии смеси находим

$$\rho \frac{DS}{Dt} = \left(\frac{\bar{\beta}}{T_1} + \frac{\beta}{T_2} \right) R_1 (u_2 - u_1) + Q_1 \left(\frac{1}{T_1} - \frac{1}{T_2} \right) - \\ - \bar{\nu}_2 J \left[-S_2 + S_1 + \frac{\chi_1}{T_1} : \frac{\chi_2}{T_2} - \frac{(u_2 - u_1)^2}{2T_1} \right] = \\ = \rho \frac{D^{(i)} S}{Dt} + \rho \frac{D^{(e)} S}{Dt},$$

где $\rho D^{(e)} S/Dt = 0$ из-за пренебрежения потоками импульса и тепла, связанными с диссипативными процессами в газовой фазе (вязкость и теплопроводность), $\rho D^{(i)} S/Dt = \sigma$, $\sigma = j_R X_R + j_Q X_Q + j_{12} X_{12}$ — диссипативная функция. Для термодинамических сил и потоков, входящих в σ , имеем следующие выражения:

$$X_R = (u_2 - u_1) \left(\frac{\bar{\beta}}{T_1} + \frac{\beta}{T_2} \right), \quad j_R = R_1; \\ X_Q = \frac{1}{T_1} - \frac{1}{T_2}, \quad j_Q = Q_1; \\ X_{12} = -S_2 + S_1 + \frac{\chi_1}{T_1} + \frac{\chi_2}{T_2} - \frac{(u_2 - u_1)^2}{2T_1}, \\ j_{12} = -\bar{\nu}_2 J.$$

Для установления связей между потоками и силами используются, например, соотношения типа линейных соотношений Онзагера, когда силовое и тепловое взаимодействия между фазами описываются в виде

$$R_1 \sim (u_2 - u_1), \quad Q_1 \sim (T_2 - T_1).$$

2. НЕСТАЦИОНАРНАЯ МОДЕЛЬ ВОЛНЫ ВОСПЛАМЕНЕНИЯ

Рассмотрим приложение данной математической модели к задаче о распространении волны воспламенения по газовзвеси металлических частиц. Пусть имеется одномерное пространство, заполненное смесью газа и частиц магния. При воздействии на облако ударной волны (УВ) в смеси возможна реализация условий, при которых происходит воспламенение частиц. Это явление ранее исследовалось в

рамках численного эксперимента в [1, 4, 5], лабораторные физические эксперименты были проведены в [6] для газовзвеси частиц магния в кислороде. В [4, 5] расчетным путем получены данные относительно зависимости времени задержки воспламенения смеси от числа Маха УВ, однако не были определены аналитические критерии воспламенения облака. Не анализировались проблемы инициирования волны воспламенения в смеси.

Ниже представлено теоретическое исследование волны воспламенения в движущейся за фронтом УВ смеси газа и реагирующих частиц магния, которое дополняет работы [1, 4, 5] в указанном выше смысле.

Построение теории воспламенения облака частиц начнем с асимптотического односкоростного варианта течения газовзвеси. Считаем, что частицы достаточно мелкие и можно пренебречь различием скоростей фаз. Поэтому для описания движения смеси привлечем данную выше общую математическую модель в односкоростном приближении механики гетерогенных сред в виде законов сохранения массы, импульса и энергии для смеси в целом:

$$\frac{\partial \rho}{\partial t} + \frac{\partial \rho u}{\partial x} = 0, \quad \frac{\partial \rho u}{\partial t} + \frac{\partial (\rho u^2 + P)}{\partial x} = 0, \\ \frac{\partial \rho E}{\partial t} + \frac{\partial (\rho E + P)u}{\partial x} = 0. \quad (2.1)$$

Уравнение притока тепла для дисперсной фазы запишем в недивергентной форме:

$$\rho \left(\frac{\partial T_2}{\partial t} + u \frac{\partial T_2}{\partial x} \right) = G(T_1, T_2), \quad (2.2)$$

добавим замыкающие соотношения в виде термического и калорического уравнений состояния:

$$E = e + \frac{u^2}{2}, \quad e = \bar{c}_{v,1} T_1 + \bar{c}_{v,2} T_2 + Q, \\ P = \rho T_1. \quad (2.3)$$

Здесь все величины известным образом соотносятся с парциальными параметрами фаз и обезразмерены по начальному состоянию перед фронтом УВ. Для масштабов плотности, давления и температуры выбраны $\rho_M = \rho_0$, $p_M = p_0$, $T_M = T_0$. Введены характерные скорость $u_M = \sqrt{p_M/\rho_M}$, энергия $e_M = u_M^2$, время t_M , длина $x_M = u_M t_M$. Функция $G(T_1, T_2)$ определяет подвод тепла химической реакции окисления магниевых частиц в стадии воспламенения и межфазный теплообмен:

$$G(T_1, T_2) = B_2(T_m - T_2) \exp\left(-\frac{E_a}{T_2}\right) - A_2(T_2 - T_1),$$

где

$$A_2 = \frac{3m_2 N_{12} \lambda_1 t_M}{2\xi_2 \rho_M c_{v,2} r^2}, \quad B_2 = \frac{3\xi_{11} \rho_{22} q t_M K_{00}}{\xi_2 \rho_M c_{v,2} r},$$

$$K_{00} = \frac{K_0}{1-a}, \quad q = \frac{q_*}{\nu_{22}}, \quad E_a = \frac{E_A}{R_\mu T_0};$$

K_0 , q_* и E_A — соответственно предэкспонент, тепловой эффект и энергия активации реакции окисления; множитель $T_m - T_2$ введен в работе [7]; $\xi_2 = \rho_2/\rho$ — массовая концентрация дисперсной фазы; ρ_{22} — средняя плотность компонента металла; N_{12} — число Нуссельта межфазного теплообмена; λ_1 — теплопроводность газовой фазы (см. также [2]). Введены константы

$$c_{v,1} = \frac{1}{\gamma_1 - 1}, \quad \bar{c}_{v,2} = \frac{\xi_2}{\xi_1} \frac{c_{v,2}}{c_{v,1}} \bar{c}_{v,1}, \quad Q = \frac{Q_0}{e_M},$$

где $Q_0 = \xi_2 Q - (\xi_1 c_{v,1} + \xi_2 c_{v,2}) T_0 + e_{11}^0$. Для простоты изложения полагаем, что все тепло реакции окисления выделяется в дисперсной фазе ($\alpha_q = 0$). Относительно величины тепловыделения приведем следующее

УТВЕРЖДЕНИЕ 1. Пусть для физико-химических и теплофизических параметров смеси выполнены условия

$$e_{11}^0 = e_{12}^0 = e_{13}^0, \quad e_{22}^0 = e_{23}^0,$$

$$\nu_{11} c_{p,11} = \nu_{13} c_{p,13}, \quad \nu_{22} c_{p,22} = \nu_{23} c_{p,23}.$$

Тогда тепловыделение от химической реакции определяется в виде

$$q_* = \nu_2 Q - (\nu_{13} c_{v,13} - \nu_{11} c_{v,11}) T_0 = \text{const},$$

$$Q = e_{22}^0 - e_{11}^0 = \text{const},$$

т. е. в этом частном случае q_* — постоянная величина, не зависящая от температур фаз.

Покажем, что система уравнений (2.1)–(2.3) вместе с соответствующими начальными и граничными условиями допускает решение типа бегущей волны воспламенения.

3. АДИАБАТИЧЕСКАЯ СТАЦИОНАРНАЯ ВОЛНА ВОСПЛАМЕНЕНИЯ СМЕСИ

3.1. Основные уравнения и постановка задачи. Связем систему координат с фронтом УВ и с учетом этого запишем стационарный вариант уравнений (2.1), (2.2):

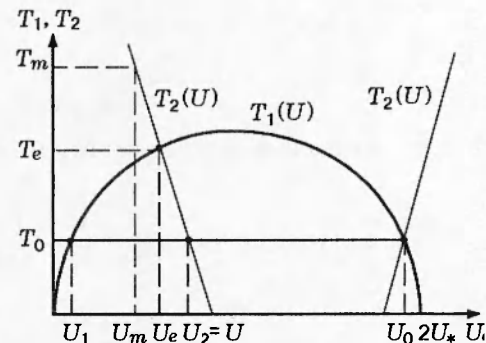


Рис. 1. Качественный вид зависимостей температур фаз от скорости смеси (соотношения (3.4))

$$\begin{aligned} \rho U &= C_1, \quad C_1 U + P = C_2, \\ e + \frac{U^2}{2} + \frac{P}{\rho} &= C_3, \end{aligned} \quad (3.1)$$

$$\frac{dT_2}{d\zeta} = B \left\{ (T_m - T_2) \exp\left(-\frac{E_a}{T_2}\right) - \alpha(T_2 - T_1) \right\}. \quad (3.2)$$

Здесь $\zeta = x - Dt$ — автомодельная координата; D — скорость ударной волны; C_1 , C_2 и C_3 — потоки массы, импульса и полной энергии смеси в начальном состоянии; $\alpha = A_2/B_2$; $B = B_2/C_1$. В качестве начальных данных примем для смеси условия:

перед фронтом замороженной УВ

$$\Phi = \Phi_0 \quad \text{при } \zeta \rightarrow -\infty, \quad (3.3a)$$

за фронтом

$$\Phi = \tilde{\Phi} \quad \text{при } \zeta = 0, \quad (3.3b)$$

стационарности на $+\infty$

$$\frac{d\Phi}{d\zeta} \rightarrow 0, \quad \text{при } \zeta \rightarrow +\infty. \quad (3.3b)$$

Здесь Φ — вектор решения, $\Phi = (\rho, U, P, T_1, T_2)$.

Таким образом, задача об определении бегущей волны воспламенения смеси свелась к решению краевой задачи (3.1)–(3.3) в области $(-\infty, +\infty)$. Отметим, что система уравнений (3.1), (3.2) может быть сведена к одному дифференциальному уравнению для температуры T_2 или скорости U .

3.2. Классификация режимов течения смеси. Используя (3.1), можно получить алгебраические выражения температур фаз через скорость смеси:

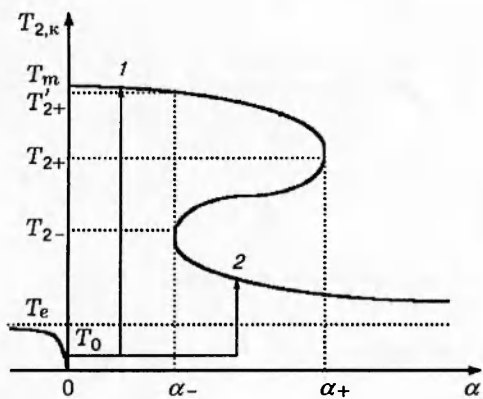


Рис. 2. Характер зависимости конечной равновесной температуры дисперсной фазы от параметра α :

линии со стрелками показывают ход нагрева частиц: 1 — при $\alpha < \alpha_-$, 2 — при $\alpha > \alpha_+$

$$T_1(U) = U(2U_* - U), \quad T_2(U) = a_2U^2 - a_1U + a_0,$$

$$U_* = \frac{C_2}{2C_1}, \quad a_0 = \frac{C_3 - \bar{Q}}{\bar{c}_{v,2}}, \quad (3.4)$$

$$a_1 = 2U_* \frac{c_{v,1} + 1}{\bar{c}_{v,2}}, \quad a_2 = \frac{c_{v,1} - 0,5}{\bar{c}_{v,2}}.$$

Полезно ввести скорость смеси U_e при равновесии температур, $T_1(U_e) = T_2(U_e) = T_e$, а также скорости U_1 , U_2 и U_m , определяемые из условий $T_1(U_1) = T_0$, $T_2(U_2) = T_0$ и $T_2(U_m) = T_m$. Нетрудно установить, что U_2 совпадает с \tilde{U} , т. е. со скоростью смеси за фронтом УВ. В дальнейшем полагаем, что $U_m < U_e$ (или $T_m > T_e$). Соотношения (3.4) позволяют провести исследование представлений параметров течения смеси как функций ее скорости.

Это необходимо для анализа конечных равновесных состояний системы (рис. 1). Выдвинем естественное требование: конечные температуры фаз $T_{1,k}$, $T_{2,k}$ не могут быть меньше температуры начального состояния T_0 . Это позволяет заключить, что скорость смеси в конечном состоянии U_k будет находиться в интервале от U_1 до U_2 . Чтобы определить, будет ли U_k меньше или больше U_e , построим бифуркационную диаграмму для состояний равновесия уравнения (3.2) (рис. 2). Зависимость $T_{2,k} = T_{2,k}(\alpha)$ имеет известный вид [7]. Отличие заключается в том, что роль температуры внешнего воздействия теперь играет величина T_e . При $T_{2,k} < T_e$ (что соответствует значениям скорости смеси из интервала (U_e, U_2) на рис. 1) тепловое равновесие невозможно — становится нефизичным (отрицательным) параметр теплообмена α . Поэтому из того, что $T_{2,k}$ не может превысить T_m , делаем вывод о том, что конечная скорость смеси U_k будет принадлежать интервалу (U_m, U_e) . Причем конечная температура дисперсной фазы всегда превышает конечную температуру газовой фазы, $T_{2,k} > T_{1,k}$. Относительно величины $T_{2,k}$ с помощью анализа многообразия катастроф/воспламенения, изображенного в виде сечений $T_e = \text{const}$ на рис. 2, устанавливается

УТВЕРЖДЕНИЕ 2. Если при течении смеси в волне воспламенения бифуркационный параметр α меньше α_- , то конечная температура частиц $T_{2,k}$ лежит между T'_{2+} и T_m . Если же $\alpha > \alpha_-$, то конечная температура $T_{2,k}$ находится между T_e и T_{2-} . Первый случай ($\alpha < \alpha_-$) соответствует течению смеси за УВ с воспламенением дисперсной фазы (ход нагрева частиц показывает линия 1 на рис. 2), второй ($\alpha > \alpha_-$) — течению с «регулярным» нагревом частиц (линия 2). Здесь α_{\pm} однозначно определяются через параметры начального состояния смеси.

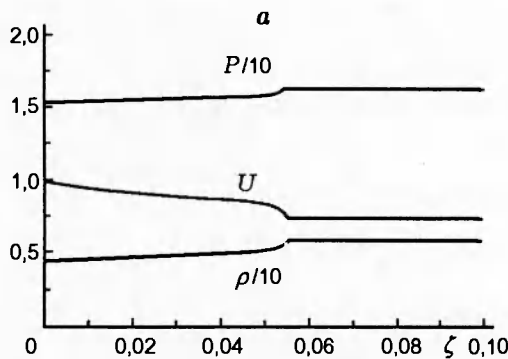
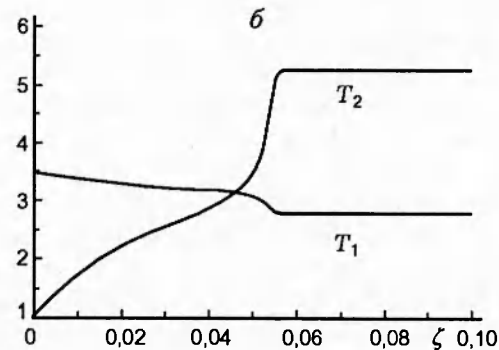


Рис. 3. Стационарная структура волны воспламенения при $\alpha = 0,276 \cdot 10^{-4} < \alpha_- = 1,58 \cdot 10^{-4}$, $M_{f0} = 3,63$



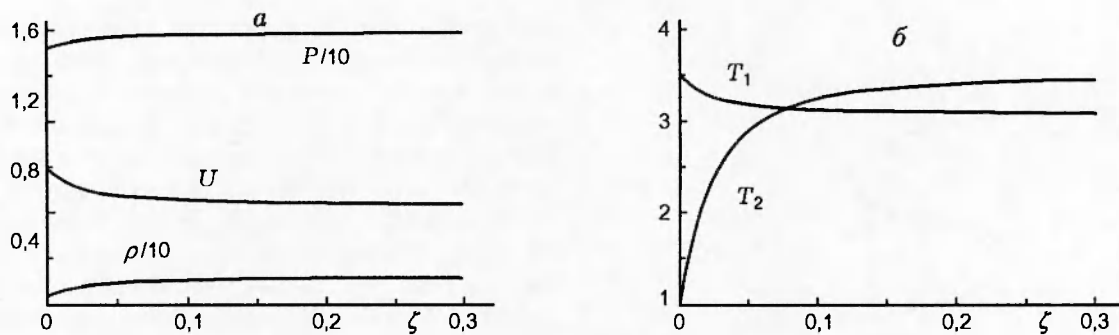


Рис. 4. Стационарная структура течения за УВ при регулярном нагреве частиц при $\alpha_- = 1,58 \cdot 10^{-4} < \alpha = 2,76 \cdot 10^{-4}$, $M_{f0} = 3,63$

3.3. Численные примеры. В расчетах приняты следующие значения параметров: $\rho_0 = 1,2 \text{ кг}/\text{м}^3$; $p_0 = 10^5 \text{ Па}$; $\rho_{20} = 0,17 \text{ кг}/\text{м}^3$; $r = 5 \cdot 10^{-7} \text{ м}$; $t_M = 10^{-3} \text{ с}$; $Q = 4 \cdot 10^7 \text{ Дж}/\text{кг}$; $E_A/\mathcal{R}_\mu = 10^4 \text{ К}$; $K_0 = 10^{-5} \div 10^{-4} \text{ м}/(\text{с} \cdot \text{К})$.

Обратимся к численным иллюстрациям стационарных структур течения газовзвеси за УВ. Так, на рис. 3 приведено распределение параметров смеси за фронтом УВ для течения с воспламенением дисперсной фазы при числе Maxa $M_{f0} = 3,63$, $\alpha \cdot 10^4 = 0,276 < \alpha_- \cdot 10^4 = 1,58$. В процессе движения смеси происходит нагрев частиц и их воспламенение за счет отбора энергии из газовой фазы. Поэтому профили температуры T_1 и скорости U монотонно убывающие. Температура частиц T_2 монотонно возрастает, имеет две точки перегиба, последнюю из которых в соответствии с классическими представлениями, справедливыми и для случая движущейся среды, будем связывать с воспламенением:

$$\frac{dT_2}{d\zeta} \Big|_{\zeta=\zeta_{ign}} \rightarrow \max, \quad \frac{d^2T_2}{d\zeta^2} \Big|_{\zeta=\zeta_{ign}} = 0.$$

В данном варианте координата воспламенения $\zeta_{ign} \approx 0,055$, так что время задержки воспламенения $t_{ign} \approx 100 \text{ мкс}$, что совпадает по порядку величины с данными эксперимента [6]. Видно, что температуры фаз существенно отличаются во всей зоне течения, хотя имеется точка равновесия температур $T_1 = T_2 = T_e$. Однако эта точка неустойчива в силу наличия химического источника тепла. Тепловыделение от реагирующих частиц не успевает повысить температуру газа до воспламенения, так как характерное время конвективного межфазного теплообмена много больше характерного «химического» времени ($\alpha^{-1} \gg 1$).

Рис. 4 иллюстрирует распределение па-

метров смеси в случае течения с «регулярным» нагревом дисперсной фазы при $M_{f0} = 3,63$, $\alpha_- \cdot 10^4 = 1,58 < \alpha \cdot 10^4 = 2,76$. Здесь в области за УВ также имеется температурная неравновесность фаз. Однако профили параметров более гладкие, чем в предыдущем случае. В частности, отсутствует резкое изменение температуры частиц, соответствующее воспламенению дисперсной фазы. Особенность структуры течения состоит в том, что давление и другие параметры смеси достигают равновесных значений раньше, чем температура частиц.

4. УСТОЙЧИВОСТЬ И ИНИЦИРОВАНИЕ СТАЦИОНАРНОЙ ВОЛНЫ ВОСПЛАМЕНЕНИЯ

Представляет значительный интерес задача об инициировании и исследовании устойчивого распространения стационарной структуры волны воспламенения в рамках нестационарного приближения механики гетерогенных сред.

4.1. Устойчивость волны воспламенения. Исследование устойчивости проводили путем численного моделирования начально-краевой задачи для нестационарных уравнений (2.1)–(2.2) со стационарным решением типа бегущей волны в качестве начальных данных. Постановка задачи такова:

Найти вектор решения $\Phi = (\rho, u, P, T_1, T_2)$, удовлетворяющий в области $\{(x, t) : x \in (-\infty, \infty), t \geq 0\}$ системе уравнений (2.1)–(2.3), начальным

$$\Phi = \begin{cases} \Phi_0, & x < 0, \\ \Phi_{st}(x), & x \geq 0 \end{cases} \quad \text{при } t = 0$$

и граничным условиям

$$\Phi = \Phi_0 \quad \text{при } x \rightarrow -\infty,$$

$$\frac{\partial \Phi}{\partial x} \rightarrow 0 \quad \text{при } x \rightarrow +\infty.$$

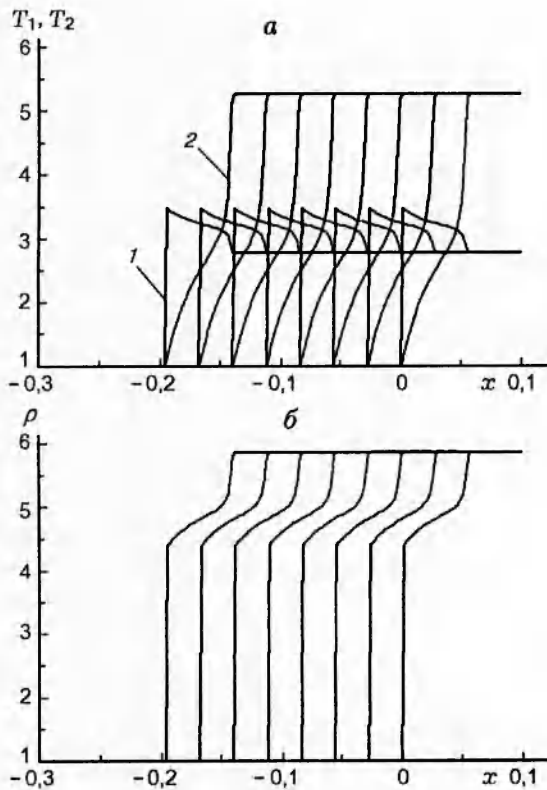


Рис. 5. Распространение стационарной структуры волны воспламенения:
а — температура газовой (1) и дисперсной (2) фаз; б — плотность смеси

Здесь $\Phi_{st}(x)$ — стационарное распределение параметров в бегущей волне воспламенения.

Для решения системы уравнений неравновесной газовой динамики (2.1) использовали конечно-разностную TVD-схему [8]. Уравнение кинетики воспламенения (2.2) интегрировали вдоль траектории методом [9]. Предварительно алгоритм TVD-схемы протестирован на задаче о распаде разрыва в идеальном газе, а также на задаче о распространении замороженной УВ в газовзвеси инертных частиц (двухтемпературная модель).

Установлено, что полученные стационарные структуры устойчиво распространяются в течение расчетного периода времени. Так, на рис. 5 приведены параметры волны воспламенения (температуры фаз и плотность смеси) в разные моменты времени с шагом выдачи $\Delta t = 6,5 \cdot 10^{-3}$ (данные соответствуют рис. 3). Здесь при $t = 0$ в точке $x = 0$ расположена лидирующая УВ в структуре стационарной волны

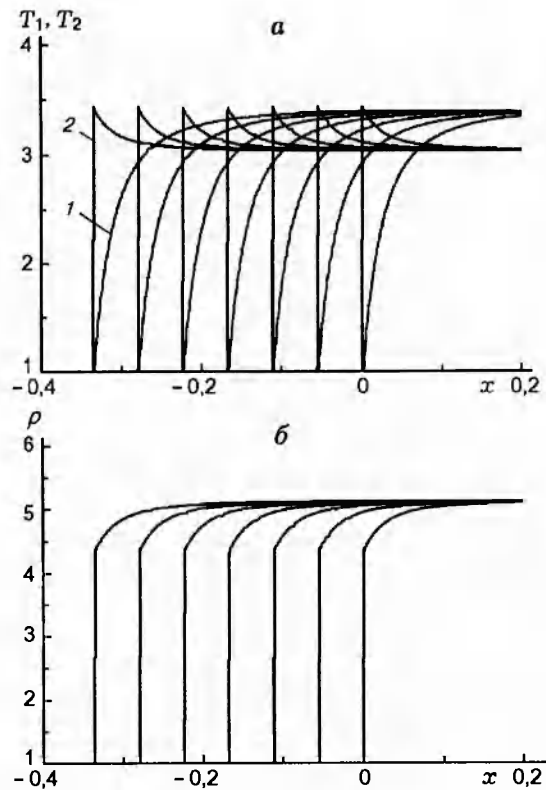


Рис. 6. Распространение стационарной структуры течения смеси при регулярном нагреве дисперсной фазы:
а — температура газовой (1) и дисперсной (2) фаз; б — плотность смеси

воспламенения. Рис. 6 демонстрирует устойчивость стационарной структуры, описывающей «регулярный» нагрев дисперсной фазы за УВ ($\Delta t = 6,46 \cdot 10^{-3}$, данные соответствуют рис. 4). Отметим, что на правой границе области течения поддерживались условия типа дозвукового поршня, гарантирующие стационарность процесса. В экспериментальных исследованиях это обеспечивается квазистационарностью пробки в ударной трубе.

4.2. Инициирование волны воспламенения. В области пространства, занимаемого смесью газа и частиц, в начальный момент времени создается зона повышенных давления и температуры газовой фазы (например, за счет мгновенного локализованного выделения тепла). Необходимо установить, при каких условиях в смеси возникает волна воспламенения. Математическая проблема состоит в решении для (2.1), (2.2) задачи о распаде произвольного разрыва.

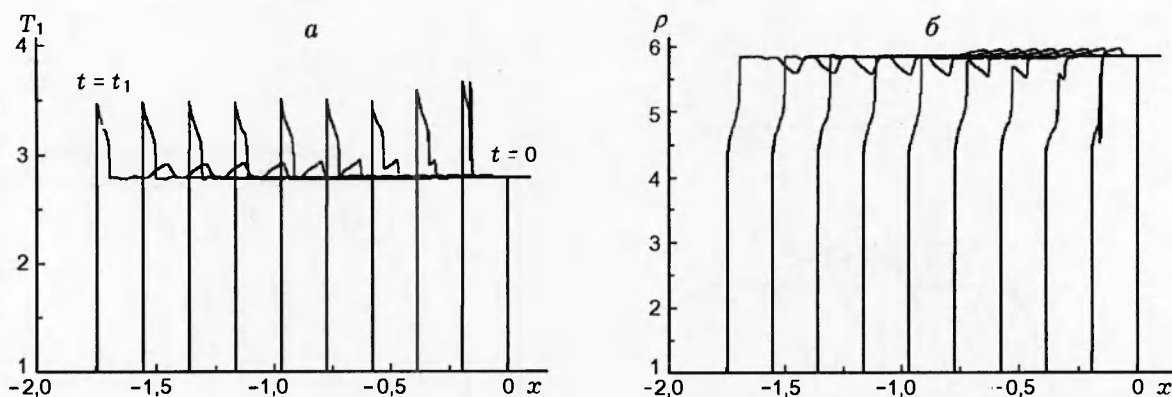


Рис. 7. Инициирование волны воспламенения:
а — температура газовой фазы; б — плотность смеси

Рассмотрим пример инициирования волны воспламенения из начального разрыва, согласованного по значениям параметров со стационарной структурой, т. е. когда все параметры смеси в зоне высокого давления задаются равными их конечным равновесным значениям в волне:

$$\Phi = \begin{cases} \Phi_0, & x < 0, \\ \Phi_\infty, & x \geq 0. \end{cases}$$

Результаты расчета для такого варианта течения, соответствующего данным рис. 3 и 5, т. е. когда выполнено условие $\alpha < \alpha_-$, представлены на рис. 7. Волна воспламенения формируется на длине в несколько десятков своих толщин и в момент времени $t_1 = 0,403$ практически установилась. В ее хвосте видно возмущение плотности смеси, которое с ростом времени отстает от замороженной лидирующей УВ и затухает по амплитуде. Вероятно, возникновение этого возмущения связано со способом инициирования волны воспламенения методом толкающего поршня.

ЗАКЛЮЧЕНИЕ

Рассмотрены одномерные движения смеси газа и реагирующих металлических частиц. С этой целью предложена двухскоростная двухтемпературная математическая модель, учитывающая химическую реакцию окисления дисперсной фазы, тепловыделение от которой происходит в обеих фазах.

На основе данной модели развита теория волны воспламенения в газовзвеси частиц магния, что является обобщением теории теплового взрыва Н. Н. Семенова на случай движущ-

шихся континуумов реагирующих частиц. Проведена классификация типов течения смеси за фронтом ударной волны в виде двух основных режимов:

- с воспламенением дисперсной фазы по механизму теплового взрыва;
- без воспламенения, с «регулярным» нагревом.

Время задержки воспламенения газовзвеси, полученное расчетным путем, соответствует по порядку величины экспериментальным данным. В рамках нестационарного подхода продемонстрировано устойчивое распространение по смеси полученной стационарной структуры волны воспламенения. Приведен численный пример инициирования волны воспламенения в смеси с помощью толкающего поршня.

Работа выполнена при поддержке Российского фонда фундаментальных исследований (код проекта 99-01-00587) и INTAS OPEN (грант 97-20207).

ЛИТЕРАТУРА

1. Медведев А. Е., Федоров А. В., Фомин В. М. Описание воспламенения и горения смесей газа и твердых частиц методами механики сплошной среды // Физика горения и взрыва. 1984. Т. 20, № 2. С. 3–9.
2. Федоров А. В. Воспламенение газовзвесей в режиме взаимодействующих континуумов // Физика горения и взрыва. 1998. Т. 34, № 4. С. 57–64.
3. Нигматулин Р. И. Основы механики гетерогенных сред. М.: Наука, 1978.

4. Boiko V. M., Fedorov A. V., Fomin V. M. Ignition of small particles behind shock waves // Shock Waves, Explosions and Detonations / J. R. Bowen, N. Manson, R. Soloukhin (Eds). Progress in Astronautics and Aeronautics. V. 87. 1983. P. 71–87.
5. Медведев А. Е., Федоров А. В., Фомин В. М. Математическое моделирование воспламенения частиц металлов в высокотемпературном потоке за ударной волной // Физика горения и взрыва. 1982. Т. 18, № 3. С. 5–13.
6. Fox J. W., TeVelde J. A., Nicholls J. A. Shock wave ignition of metals powders // Proc. 1976 Heat Transfer and Fluid Mech. Inst., Davis, Calif., 1976. Stanford, Calif., 1976. P. 241–256.
7. Fedorov A. V., Gosteev Yu. A. A numerical study of ignition of magnesium samples in spherical and cylindrical symmetry // Conference Proc. 16th Intern. Colloquium on the Dynamics of Explosions and Reactive Systems, August 3–8, 1997, University of Mining and Metallurgy, AGH. Cracow, Poland, 1997. P. 299–302.
8. Harten A. High resolution schemes for hyperbolic conservation laws // J. Comp. Phys. 1983. V. 49, № 3. P. 357–393.
9. Федоров А. В., Хмель Т. А. Взаимодействие детонационных волн и волн разрежения в аэро-взвеси частиц алюминия в кислороде // Физика горения и взрыва. 1997. Т. 33, № 2. С. 102–110.

Поступила в редакцию 27/XII 1998 г.